

طراحی پایدارساز فازی در سیستم‌های قدرت چند ماشینه با استفاده از الگوریتم جستجوی هارمونی

اویس عابدی‌نیا^{۱*} و نیما امجدی^۲

چکیده

اطلاعات مقاله

در این مقاله طراحی و بهینه‌سازی قوانین کنترل کننده فازی در سیستم قدرت چند ماشینه با استفاده از الگوریتم جستجوی هارمونی ارائه شده است. استفاده از کنترل کننده فازی PID یکی از روش‌های مناسب برای پایداری در سیستم‌های غیرخطی می‌باشد. رفتار کنترل کننده‌های فازی به اطلاعات طراحی شامل انتخاب توابع عضویت و قوانین کنترلی بستگی دارد. در روش‌های طراحی سنتی، اطلاعات طراحی مبتنی بر تجربه افراد خبره است که از طریق آزمون سعی و خطا تعیین می‌گردد. بنابراین طراحی یک کنترل کننده مناسب زمان بر می‌باشد. بنابراین انتخاب بهینه قوانین فازی و یا شکل توابع عضویت مسئله بسیار مهمی می‌باشد. و این مساله بدون نیاز به تجربیات افراد خبره از اهمیت ویژه‌ای برخوردار است. از طرفی الگوریتم پیشنهادی هارمونی نیز در بررسی نتیجه عملکرد اجزا به دنبال هماهنگی مطلوب می‌باشد که در حل مسائل بهینه‌سازی به دنبال یافتن بهترین مسیر است تا بوسیله آن هزینه توابع محاسباتی را کاهش دهد. لذا کنترل کننده پیشنهادی در نقاط کار مختلف بر روی سیستم قدرت استاندارد سه ماشینه IEEE و ده ماشینه New-England مورد آزمایش قرار گرفته و نتایج تحلیل مقادیر ویژه سیستم و شبیه‌سازی با دیگر روش‌ها مقایسه گردیده است.

واژگان کلیدی:

پایدار ساز سیستم قدرت،
کنترل کننده فازی،
قوانین فازی،
سیستم چند ماشینه،
الگوریتم جستجوی هارمونی.

۱- مقدمه
کوچک با استفاده از تنظیم کننده‌های پیوسته و سریع تشخیص داده شد. در اوایل دهه ۱۹۶۰ با اعمال سیگنال‌های کمکی پایدارساز (علاوه بر سیگنال خطای ولتاژ) به منظور کنترل ولتاژ تحریک و میرا کردن نوسان‌های سیستم نقش محوری تر و مهم‌تری به سیستم‌های تحریک داده شد [۲-۱]. سیستم‌های تحریک شامل قسمت‌های مختلف می‌باشد. این بلوک عموماً شامل مقادیر اندازه‌گیری شده سرعت روتور، توان شتاب دهنده روتور و یا فرکانس ولتاژ می‌باشد. در یک سیستم واقعی که روش‌های بسیاری برای بدست آوردن جواب وجود

با پیشرفت صنعت برق، تغییراتی در سیستم‌های آن به وجود آمد. در ابتدا سیستم‌های تحریک به صورت دستی کنترل می‌شدند. تا قبل از سال ۱۹۲۰ سیستم تحریک یا کنترل ولتاژ به صورت خودکار درآمد ولی عملکرد آنها بسیار کند بود و عملان نقش یک کاربر ماهر را بازی می‌کرد. در اوایل سال ۱۹۲۰ امکان بالقوه بهبود پایداری گذرا و اغتشاش‌های سیگنال

* پست الکترونیک نویسنده مسئول: oveis.abedinia@gmail.com

۱- دانشجوی دکتری، دانشکده مهندسی برق و کامپیوتر، دانشگاه سمنان

۲- استاد، دانشکده مهندسی برق و کامپیوتر، دانشگاه سمنان

جایگزینی این دو حلقه پیشنهاد کردند. ولی به دلیل استفاده دیرینه از این دو حلقه کنترلی در نیروگاه‌ها و امتحان شدن و قابل اعتماد بودنشان از این ایده استقبالی نشد. لذا کنترل کننده تکمیلی پیشنهاد شد. در این حالت سیستم توربوژنراتور همراه با حلقه‌های کنترلی فرکانس و ولتاژ، با هم به صورت یک سیستم کنترلی تعریف و سپس یک حلقه کنترلی اضافی روی آن سوار می‌شود. این حلقه کنترلی اضافی را اصطلاحاً پایدارساز سیستم قدرت (PSS^۳) نامیده‌اند.

برای طراحی پایدارساز سیستم قدرت (PSS) پیشنهادهای بسیار متنوع و متفاوتی ارائه شده و این موضوع قدرتی - کنترلی، برای بسیاری از محققین جالب توجه بوده و مقالات بسیار متنوعی در این باره منتشر شده است و هنوز نیز در مجلات و کنفرانس‌های معتبر بین‌المللی روش‌های جدیدی پیشنهاد می‌شود [۵].

ابتداً‌ی ترین روش برای طراحی PSS، طراحی سنتی می‌باشد. طراحی سنتی بر اساس جبران کننده‌های پیش‌فاز می‌باشد. این کنترل کننده‌ها برای یک نقطه نامی طراحی و تنظیم می‌شوند. سیستم کنترل شده در چنین PSS‌هایی از استحکام و عملکرد مناسبی برخوردار نمی‌باشد. و تنها در یک محدوده کوچک از تغییرات نقطه کار پایداری خود را حفظ می‌کند [۶-۷].

روش دیگر، روش تئوری کنترل بهینه می‌باشد. تئوری کنترل بهینه بر اساس مدل فضای حالت نیز در طراحی PSS مدرن استفاده شده و کارایی آنرا بهبود بخشیده است، اما استحکام و انعطاف‌پذیری سیستم هنوز به عنوان یک مسئله مهم باقی مانده است. در این PSS چنانچه تغییرات نقطه کار نسبت به نقطه نامی بزرگ باشد، کارایی سیستم از محدوده مطلوب خارج می‌گردد [۸].

دارد رسیدن به بهینه‌ترین جواب راه مشکلی است. در سال‌های اخیر با توجه به مشکلات موجود در روش‌های کلاسیک، از روش‌های هوشمند برای بدست آوردن جواب بهینه استفاده شده است [۳-۴].

سیستم تحریک نقش بسیار مؤثری در میرا کردن نوسانات فرکانس، توان اکتیو و راکتیو ایفا می‌کند. این نقش یعنی تقویت پایداری دینامیکی، با استفاده از حلقه کنترلی پایدارساز سیستم قدرت اهمیت زیادی دارد. هم‌چنین AVR در تقویت پایداری گذرا یعنی حفظ پایداری پس از اغتشاشات شدید می‌تواند نقش بسیار مؤثری بازی نماید. البته تقویت پایداری دینامیکی و گذرا در صورتی مؤثر است که سرعت پاسخ سیستم AVR مناسب باشد. سیستم‌های بسیار AVR اولیه نمی‌توانند نقش مؤثری در این زمینه ایفا کنند.

هدف اصلی سیستم‌های کنترلی در یک سیستم قدرت تأمین توان حقیقی و واکنشی لازم مصرف کننده در ولتاژ و فرکانس دلخواه است. با اصلاح این فرکانس در حلقه کنترل فرکانس، می‌توان علاوه بر کنترل فرکانس شبکه، توان حقیقی را نیز کنترل کرد. با اصلاح ولتاژ دلخواه در حلقه کنترل ولتاژ نیز می‌توان واکنشی را نیز کنترل کرده [۵].

پس حلقه‌های کنترلی گاورنر و AVR نقشی اساسی در کنترل سیستم‌های قدرت دارند. ولی از ابتدای امر مشخص گردید که آنها برای از بین بردن نوسانات حالت گذرا توانایی محدودی دارند. به همین دلیل به یک حلقه کنترل کننده دیگر جهت کمک به این دو حلقه فکر شد. بعضی یک سیستم کنترلی چند متغیره، که تداخل‌ها را نیز منظور و از روش‌های پیشرفته کنترلی استفاده می‌کند، را برای

² Power System Stabilizer

سال دوازدهم، شماره ۳۶، بهار ۱۳۹۳

^۱ Automatic Voltage Regulator

تابع هدف مورد تحلیل قرار گرفته‌اند. نتایج حاصله نشان از کارایی بهتر کنترل‌کننده پیشنهادی در مقایسه با روش‌های دیگر می‌باشد.

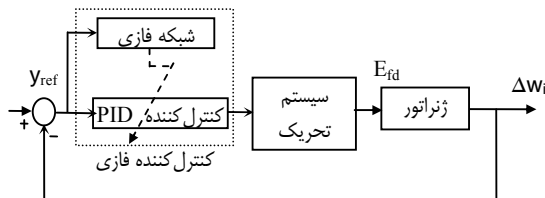
۲- کنترل‌کننده PID فازی

اصولاً سیستم فازی، سیستمهای مبتنی بر دانش یا قواعد می‌باشند. قلب یک سیستم فازی یک پایگاه دانش بوده که از قواعد اگر آنگاه فازی تشکیل شده است. یک قاعده اگر آنگاه فازی یک عبارت اگر آنگاه بوده که بعضی کلمات آن به

وسیله توابع تعلق پیوسته مشخص می‌شوند [۹]. عموماً به کارگیری کنترل‌کننده‌های فازی در دو قالب اصلی طبقه‌بندی می‌گردد:

- بهره‌های کنترل‌کننده PID سنتی به صورت on-line و بر اساس دانش مبتنی بر موتور استنتاج فازی در شرایط کاری مختلف مشخص شده سپس سیگنال کنترلی محاسبه شده و به سیستم اعمال می‌شود.
- سیگنال کنترلی به صورت مستقیم و بر اساس دانش مبتنی بر موتور استنتاج فازی با توجه به شرایط کاری مختلف محاسبه شده و به سیستم اعمال می‌شود.

شكل ۱ نمایش بلوکی کنترل‌کننده فازی برای حل مسئله پایداری سیستم قدرت در سیستم را نشان می‌دهد.



شكل ۱- نمایش بلوکی کنترل‌کننده PID فازی

عملکرد یک کنترل‌کننده فازی شامل پنج مرحله است. به طوریکه بعد از پردازش و استنتاج متغیرهای ورودی، خروجی سیستم فازی تعیین شده و به سیستم اعمال

روش دیگر برای طراحی PSS کنترل تطبیقی می‌باشد، که اخیراً توسعه زیادی داشته است. این روش با وجود اینکه می‌تواند مسئله حفظ کارایی مطلوب سیستم را با وجود تغییر پارامترها حل کند، ولی نتیجه طراحی یک سیستم بسیار پیچیده در مقایسه با کنترل‌کننده سنتی خواهد بود. هم‌چنین کنترل‌کننده تطبیقی مشکلات خاص خود از قبیل همگرایی و دینامیک مدل نشده را نیز به همراه دارد [۹].

در سال‌هال اخیر، روش‌های هوشمند بسیاری مورد استفاده طراحان کنترل‌کننده قرار گرفته است. که می‌توان به الگوریتم ژنتیک [۱۰-۱۱]، جستجوی ممنوع [۱۲]، الگوریتم مورچگان [۱۳]، شبکه عصبی [۱۴]، جستجوی هارمونی [۱۵] و... اشاره نمود.

الگوریتم جستجوی هارمونی، الگوریتمی است که با الهام از نحوه شکل‌گیری و چگونگی عملکرد یک ارکستر موسیقیایی به دنبال راه حل بهینه و یا به عبارت ساده‌تر، بهترین هماهنگی بین اجزا دخیل در راهبری یک فرایند است. همان طور که نوازنده‌ها در یک ارکستر قطعات موسیقیایی را می‌نوازنند، تا از بین آنها بهترین ترکیب، محصول نهایی را پدید آورد [۱۵].

روش هوشمند دیگری که در دهه‌های اخیر مورد استفاده قرار گرفته است، استفاده از کنترل‌کننده‌های فازی می‌باشد. در این ساختار، بلوک کنترل‌کننده فازی به جای بلوک پایدارساز سیستم (lead-lag) قرار می‌گیرد. به عبارتی بلوک فازی وظیفه میرا کردن نوسانات واردہ بر سیستم را به‌عهده می‌گیرد [۱۶-۱۷].

در این مقاله با استفاده از نقاط قوت الگوریتم هارمونی و کنترل‌کننده فازی دو سیستم قدرت چند ماشینه در نقاط کار مختلف مورد تست قرار می‌گیرد. هم‌چنین، دو مقادیر ویژه سیستم بر اساس

$$u_i = K_{Pi} \Delta \omega_i(t) + K_{li} \int_0^t \Delta \omega_i(t) dt + K_{di} \Delta \dot{\omega}_i(t) \quad (4)$$

ینک می‌توان قواعد اگر – آنگاه فازی را استنتاج کرد.
 فرض کنید که قواعد اگر – آنگاه فازی به‌فرم زیر باشند.
 اگر $e(t)$ متعلق به A^L و $e(t)$ متعلق به B^L باشد آنگاه
 E^L متعلق به C^L و k_p متعلق به D^L و α متعلق به E^L
 است که A^L, B^L, C^L, D^L, E^L مجموعه‌های فازی بوده و
 $L = \dots M$ می‌باشد.

با استفاده از این نوع ایده، ما قادر خواهیم بود که سه مجموعه از قواعد را برای K_p و K_d و α تعیین نماییم به طوری که هر مجموعه حاوی ۴۹ قاعده باشد. ۴۹ قانون موجود در هر مجموعه با استفاده از موتور استنتاج ضرب، فازی‌ساز منفرد و غیر فازی‌ساز میان بهره مراکز ترکیب می‌گردد. بنابراین پارامترهای K_p و K_d و α مطابق

روابط (۵) و (۶) حاصل می‌گردند:

$$K_p(t) = \frac{\sum_{l=1}^{49} y_p^{-l} \mu_A^l(e(t)) \mu_B^l(e^\cdot(t))}{\sum_{l=1}^{49} \mu_A^l(e(t)) \mu_B^l(e^\cdot(t))} \quad (\Delta)$$

$$K_d(t) = \frac{\sum_{l=1}^{49} y_d^{-l} \mu_A^l(e(t)) \mu_B^l(e^-(t))}{\sum_{l=1}^{49} \mu_A^l(e(t)) \mu_B^l(e^-(t))} \quad (8)$$

$$\alpha(t) = \frac{\sum_{l=1}^{49} y_\alpha^{-l} \mu_A^l(e(t)) \mu_B^l(e^*(t))}{\sum_{l=1}^{49} \mu_A^l(e(t)) \mu_B^l(e^*(t))} \quad (\text{V})$$

که y_p^{-l} و y_d^{-l} و y_α^{-l} مراکز متناظر با مجموعه‌های فازی دیگر باشند.

با توجه به مراحل طراحی که اشاره شد، این نوع کنترل-کننده‌ها نیاز به اطلاعات سه‌بعدی دارد و در نتیجه سه جدول مشتمل بر قوانین فازی را باید به دست آورد [۲۰]. استخراج قوانین سه‌بعدی با توجه به دانش بشری و تجربیات افراد خبره مشکل می‌باشد. همچنین درک و استنباط اطلاعات سه‌بعدی کار پیچیده‌ای بوده، بنابراین طراحی جنبه کننده‌ای مشکل می‌باشد. لذا،

می شود [۱۸]. این پنج مرحله را می توان به صورت زیر طبقه بندی کرد:

- ۱- فازی سازی متغیرهای ورودی
 - ۲- اعمال عملگرهای فازی
 - ۳- استنتاج فازی
 - ۴- جمع کردن نتایج از میان نتایج حاصل از هر جزء
 - ۵- غیرفازی‌سازی نتایج

در سیستم سنتی کنترل کننده متعارف یک کنترل کننده PID می باشد که سیستم فازی بهره های PID را به صورت بی درنگ تعیین می نماید. سیستم فازی از یک مجموعه قواعد اگر- آنگاه فازی بنا نهاده شده است که چگونگی انتخاب بهره های PID را تحت شرایط عملکرد مشخص تشریح می کند.

محدوده‌های $[K_{d\min}, K_{d\max}] \in K_d$ و $[K_{p\min}, K_{p\max}] \in K_p$ برای بهره تناوبی و بهره مشتق تعیین می‌شوند. جهت ساده‌سازی K_d و K_p را در محدوده بین صفر و یک با استفاده از تبدیل خط زیر نرمالیزه می‌شوند:

$$K_p' = \frac{K_p - K_{p\min}}{K_{p\max} - K_{p\min}} \quad (\text{v})$$

$$K_d' = \frac{K_d - K_{d\min}}{K_{d\max} - K_{d\min}} \quad (\text{Y})$$

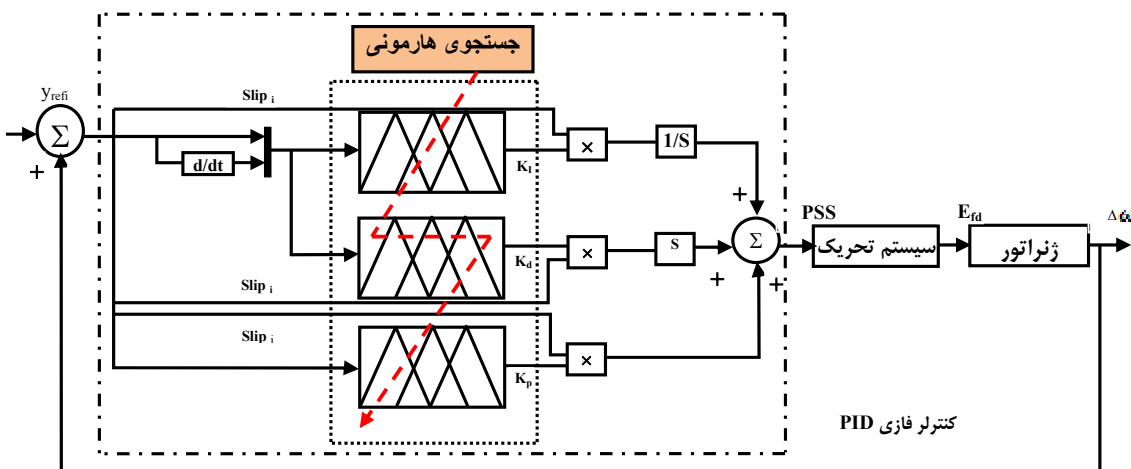
فرض می شود که ثابت زمانی انتگرال نسبت به ثابت زمانی مشتق و به وسیله رابطه $T_i = a/T_d$ تعیین گردد، که با توجه به آن رابطه (3) به دست می آید:

$$K_i = K_p(\alpha T_d) = K_p^2 / (\alpha K_d) \quad (3)$$

و لذا K_p و K_d پارامترهایی هستند که بهوسیله سیستم فاری تعیین می‌گردد. اگر بتوان این پارامترها را تعیین کرد، در آن صورت بهره‌های PID می‌توانند از رابطه زیر به دست آیند. به طوری که سیستم فازی تعیین کننده پارامترها از سیستم فازی ۲ ورودی و یک خروجی تشکیل شده باشد [۱۹].

کننده پیشنهادی به صورت شکل ۲ خواهد بود.

ادامه از الگوریتم جستجوی هارمونی بهره خواهیم برداشت و اعمال روش هوشمند الگوریتم پیشنهادی بر روی کنترل

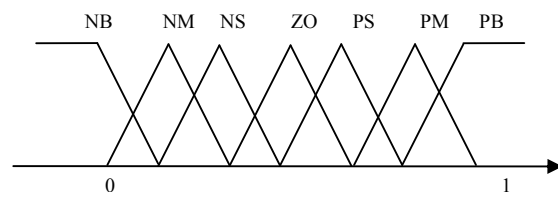


شکل ۲- ساختار کنترل کننده پیشنهادی هارمونی-فازی

موسیقایی را می‌نوازند تا از بین آنها بهترین ترکیب، محصول نهایی را پیدید آورد. این الگوریتم در بررسی نتیجه عملکرد اجزا به دنبال هماهنگی مطلوب می‌باشد به عبارت دیگر الگوریتم مذکور دارای قابلیت بهینه‌سازی مساله با در نظر گرفتن شرایط حاکم در مساله می‌باشد. که در حل مسائل بهینه‌سازی به دنبال یافتن بهترین مسیر است تا بوسیله آن هزینه توابع^۱ محاسباتی را کاهش دهد [۲۱-۲۲]. مراحل روش جستجوی هارمونی به ترتیب عبارتند از:

- ۱- تعیین مسئله و پارامترهای الگوریتم
 - ۲- تعیین اولیه حافظه هارمونی
 - ۳- تولید یک هارمونی جدید
 - ۴- به روز نمودن حافظه هارمونی
 - ۵- بررسی ناحیه توقف الگوریتم
- در مرحله اول، مسئله بهینه‌سازی به صورت رابطه زیرتعیین می‌گردد.

شکل ۳ تابع عضویت را برای بهره‌های K_{li} , K_{pi} , K_{di} نشان می‌دهد. تابع عضویت جهت تنظیم پارامترها، شامل هفت متغیر زبانی است که هر یک را می‌توان به مجموعه $v = \{1, 2, 3, 4, 5, 6, 7\}$ نسبت داد.



شکل ۳: تابع عضویت برای K_{li} , K_{pi} , K_{di}

۳- الگوریتم جستجوی هارمونی

الگوریتم جستجوی هارمونی (HSA^{*}) که نوعی از الگوریتم‌های فرا شهودی می‌باشد، الگوریتمی است که با الهام از نحوه شکل‌گیری و چگونگی عملکرد یک ارکستر موسیقی به دنبال راه حل بهینه و یا به عبارت ساده‌تر، بهترین هماهنگی بین اجزا دخیل در راهبری یک فرایند است. همان طور که نوازندگان در یک ارکستر قطعات

[†] Cost function

* Harmony Search Algorithm

در این مرحله یک بردار جدید $x' = (x'_1, x'_2, \dots, x'_N)$ بر مبنای سه قانون که به ترتیب عبارتند از ملاحظات حافظه، تنظیم صدا دهی، انتخاب تصادفی، تولید می‌شود که به این بردار بداهه‌نوایی نیز می‌گویند. مقدار اولین متغیر تصمیم‌گیری^۱ x_1 برای بردار جدید از هر مقداری که در محدوده HM وجود دارد، انتخاب می‌گردد. مقادیر دیگر متغیرها نیز به همین صورت انتخاب می‌گردند. HMCR، نرخ انتخاب یک مقدار از مقادیر محاسبه شده قبلی که در HM ذخیره شده است می‌باشد و (1-HMC) نرخ گزینش تصادفی یک مقدار از محدوده ممکن مقادیر می‌باشد [۴۱].

$$x'_i \leftarrow \begin{cases} x'_i \in \{x_i^1, x_i^2, \dots, x_i^{HMS}\} & (HMCR) \\ x'_i \in X_i (1 - HMCR) \end{cases} \quad (10)$$

الگوریتم هارمونی مقدار متغیر تصمیم‌گیری را از کل محدوده مقادارهای ممکن انتخاب می‌کند. که جواب‌های بدست آمده از ملاحظات حافظه برای تعیین این که تنظیم صدادهی مناسب‌تر است یا نه، امتحان می‌شوند. این عمل با استفاده از پارامتر PAR که نرخ تنظیم صدادهی است، انجام می‌گیرد. پارامتر PAR بصورت زیر تعریف می‌شود.

$$x'_i \leftarrow \begin{cases} Yes, Pr(PAR) \\ No, Pr(1 - PAR) \end{cases} \quad (11)$$

اگر تصمیم برای تنظیم صدادهی Yes باشد x_i' بصورت زیر جایگزین می‌شود.

$$x'_i \leftarrow x'_i \pm rand() \times bw \quad (12)$$

که در رابطه بالا bw یک پهنه‌ای باند قابل شنیدن و rand() شماره تصادفی بین - و + می‌باشد. در مرحله سوم ملاحظات HM تنظیم صدادهی یا گزینش انتخابی بر روی هر متغیر بردار هارمونی جدید اعمال می‌گردد.

بهروز رسانی حافظه هارمونی

اگر بردار هارمونی جدید $x' = (x'_1, x'_2, \dots, x'_N)$ از بدترین بردار هارمونی در HM بر مبنای تابع هدف انتخابی بهتر

$$\begin{aligned} & Minimize : \{f(x), x \in X\} \\ & s.t \\ & g(x) \geq 0 \\ & h(x) = 0 \end{aligned} \quad (8)$$

به گونه‌ای که $f(x)$ تابع هدف، $h(x)$ تابع قیود مساوی و $g(x)$ تابع قیود غیرتساوی می‌باشد. X دسته‌ای از متغیر تصمیم‌گیری X_i و X مجموعه محدوده مقادارهای ممکن $x_{iL} \leq x_i \leq x_{iU}$ می‌باشد که x_{iL} و x_{iU} حدود بالایی و پایینی برای هر متغیر تصمیم‌گیری می‌باشد و x_i بین x_{iL} و x_{iU} می‌باشد. پارامترهای HSA نیز در این مرحله اول مشخص می‌شوند که شامل اندازه حافظه هارمونی^{*} (HMS)، نرخ ملاحظه حافظه هارمونی[†] (HMCR)، نرخ تنظیم صدادهی[‡] (PAR)، تعداد بداهه‌سازی (NI) یا همان ناحیه توقف الگوریتم می‌باشند. حافظه هارمونی (HM) جایی است که تمام بردارهای جواب در آن ذخیره می‌شوند PAR و HMCR نیز پارامترهایی هستند که در مرحله سوم برای بهبود بردار جواب به کار می‌روند [۱۵].

تعیین اولیه حافظه هارمونی

در این مرحله ماتریس HM با تعداد بسیار زیادی بردار جواب به صورت تصادفی تولید شده و با توجه به HMS پر می‌گردد [۲۳].

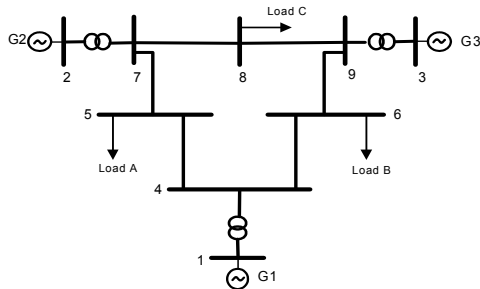
$$HM = \begin{bmatrix} x_1^1 & x_2^1 & \dots & x_{N-1}^1 & x_N^1 \\ x_1^1 & x_2^2 & \dots & x_{N-1}^2 & x_N^2 \\ \vdots & \vdots & \ddots & \vdots & \vdots \\ x_1^{HMS-1} & x_2^{HMS-1} & \dots & x_{N-1}^{HMS-1} & x_N^{HMS-1} \\ x_1^{HMS} & x_2^{HMS} & \dots & x_{N-1}^{HMS} & x_N^{HMS} \end{bmatrix}$$

تولید هارمونی جدید بر اساس بداهه نوازی

^{*} Harmony Memory Size (HMS)

[†] Harmony Memory Considering Rate (HMCR)

[‡] Pitch Adjustment Rate (PAR)



شکل ۴- دیاگرام تک خطی سیستم سه ماسیونه

با توجه به طبیعت روش‌های مبتنی بر طبیعت، الگوریتم هارمونی چندین بار بر روی سیستم پیشنهادی اجرا شده و بهترین نتایج در این مقاله ارائه گردیده است. نتایج بدست آمده برای قوانین فازی در جدول ۱ تا ۳ ارائه شده است.

تابع هدف‌های مورد نظر برای تحلیل پایداری سیستم عبارتند از:

$$J_1 = \sum_{i=1}^n \int_{t=0}^{t=t_{sim}} (t\Delta\omega_i)^2 dt \quad (1)$$

$$J_2 = \sum_{i=1}^n \int_{t=0}^{t=t_{sim}} (\Delta\omega_i)^2 dt \quad (2)$$

که n تعداد ژنراتورهای سیستم و t_{sim} زمان شبیه‌سازی می‌باشد. مقادیر این توابع هدف در جدول ۱۵ ارائه شده است.

جدول ۱- قوانین فازی تنظیم بهره K_{di}

	NB	NS	PS	PB
NB	PM	NS	PM	ZO
NS	PS	PM	NS	PB
Z	NM	PB	ZO	PB
PS	NB	PS	NS	NB
PB	PM	NB	PM	ZO

جدول ۲- قوانین فازی تنظیم بهره K_{li}

	NB	NS	PS	PB
NB	NS	NM	PM	PB
NS	ZO	ZO	NB	PB
Z	PM	NM	NM	ZO
PS	NS	PB	NS	NB
PB	PM	ZO	NB	NB

باشد، هارمونی جدید داخل HM قرار گرفته و بدترین هارمونی موجود از مجموعه HM کنار گذاشته می‌شود.

بررسی ناحیه توقف

اگر ناحیه توقف یا همان حداقل تعداد بداهه‌ناواری ارضا شد، محاسبات پایان یافته و در غیر اینصورت مراحل تولید هارمونی و به روزرسانی حافظه تکرار می‌گردد.

اعمال الگوریتم بر مساله پیشنهادی

در این مقاله مراحل زیر برای پایداری سیستم قدرت مورد نظر صورت می‌پذیرند:

- ۱- برقرار کردن پایداری سیستم به عنوان صورت مساله
- ۲- تعیین اولیه حافظه هارمونی با استفاده از معادله ۹ (قوانين فازی به عنوان حافظه هارمونی در نظر گرفته می‌شوند).

- ۳- تولید قوانین فازی جدید به عنوان هارمونی جدید با استفاده از معادله ۱۰ تا ۱۲
- ۴- به روز نمودن حافظه هارمونی بر اساس تابع هدف سیستم (معادله ۱۳ و ۱۴)
- ۵- بررسی شرط توقف الگوریتم

۴- نتایج شبیه‌سازی

مدل شبیه‌سازی سیستم مورد استفاده در مرجع [۸] ارائه شده است. در این قسمت سیستم‌های مورد تست به همراه نتایج شبیه‌سازی ارائه شده‌اند. تمامی شبیه‌سازی‌ها و برنامه‌نویسی با استفاده از نرم‌افزار MATLAB انجام گرفته است. برای عملکرد رله در این مقاله دو فرض در نظر گرفته شده است: ۱- یا رله حفاظتی عمل نمی‌کند (خط باقی می‌ماند). ۲- رله بعد از ۰۰۹ عمل می‌کند

▪ سیستم استاندارد سه ماسیونه IEEE

در این قسمت سیستم قدرت استاندارد ۹ باسه و سه ماسیونه IEEE مورد بهره‌برداری قرار گرفته است. شکل ۴ دیاگرام تک خطی این سیستم ارائه گردیده است. اطلاعات این سیستم در مرجع [۷] ارائه شده است.

شده است. در سیستم با در نظر گرفتن پایدارساز، مقادیر ویژه در جداول ۷ و ۸ ارائه شده که در دو مورد J_1 و J_2 ارائه گردیده است. در این جداول موارد اول و دوم عبارت است از شرایط بار مختلف که در جداول ۵-۴ ارائه گردیده است. هم‌چنین در هر سطر ابتدا مقادیر ویژه به صورت اعداد مختلط نشان داده شده‌اند و بعد نسبت میرایی نوشته شده است. مقادیر ویژه ارائه شده برای کل سیستم می‌باشند و برای قسمت خاصی از سیستم قدرت نمی‌باشند. شکل ۵ نیز روند همگرایی الگوریتم پیشنهادی با مقادیر اولیه مختلف ارائه گردیده است.

جدول ۳- قوانین فازی تنظیم بهره K_{Pi}

	NB	NS	PS	PB
NB	PM	NS	PM	ZO
NS	PS	PM	NS	PB
Z	NM	PB	ZO	PB
PS	NB	PS	NS	NB
PB	PM	NB	PM	ZO

▪ تحلیل مقادیر ویژه

برای به چالش کشیدن کنترل کننده پیشنهادی در شرایط مختلف، دو مورد مطالعاتی در این سیستم در نظر گرفته شده است [۲۴]. هم‌چنین اطلاعات مربوط به بار ژنراتور در جداول ۴ و ۵ نشان داده شده است. در جدول ۶ نیز مقادیر ویژه سیستم بدون در نظر گرفتن پایدارساز ارائه

جدول ۴- میزان بار تولید هر ژنراتور سیستم (100-MVA)

بار	بار پایه		مورد ۱		مورد ۲	
	P	Q	P	Q	P	Q
A	1.25	0.50	2.00	0.80	1.50	0.90
B	0.90	0.30	1.80	0.60	1.20	0.80
C	1.00	0.35	1.50	0.60	1.00	0.50

جدول ۵- میزان بار تولید ژنراتور

Gen.	بار پایه		مورد ۱		مورد ۲	
	P	Q	P	Q	P	Q
G_1	0.289	0.109	0.892	0.440	0.135	0.453
G_2	0.849	0.035	1.000	0.294	1.042	0.296
G_3	0.664	-0.085	1.000	0.280	1.172	0.298

جدول ۶- مقادیر ویژه و نسبت‌های میرایی بدون در نظر گرفتن پایدارساز

مورد مطالعاتی پایه	مورد اول	مورد دوم
$-0.02 \pm j 9.04, 0.001$	$-0.04 \pm j 8.87, 0.001$	$0.4 \pm j 8.83, -0.031$
$-0.8 \pm j 13.82, 0.052$	$-0.54 \pm j 13.79, 0.035$	$-0.36 \pm j 13.62, 0.022$

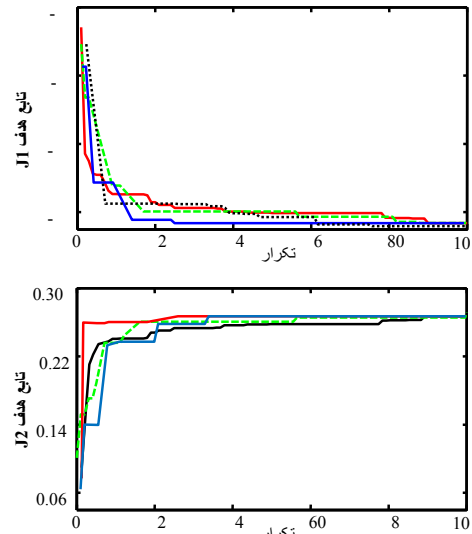
جدول ۷- مقادیر ویژه و نسبت‌های میرایی با در نظر گرفتن پایدارساز (J_1)

مورد مطالعاتی پایه	مورد اول	مورد دوم
$-3.65 \pm j 8.41, 0.382$	$-2.28 \pm j 7.6, 0.251$	$-2.55 \pm j 8.24, 0.215$
$-3.68 \pm j 18.37, 0.185$	$-4.09 \pm j 18.59, 0.235$	$-3.6 \pm j 18.51, 0.206$

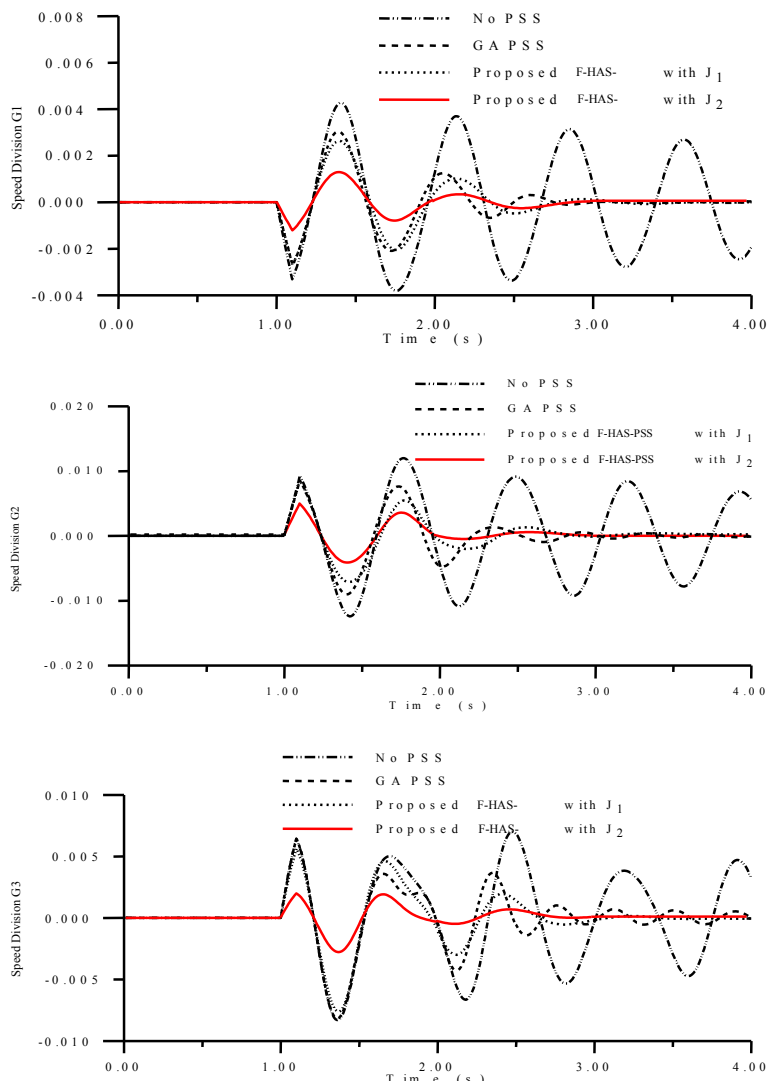
جدول ۸- مقادیر ویژه و نسبت‌های میرایی با در نظر گرفتن پایدارساز (J_2)

مورد مطالعاتی پایه	مورد اول	مورد دوم
$-2.05 \pm j 7.61, 0.246$	$-1.61 \pm j 7.51, 0.215$	$-1.47 \pm j 7.32, 0.139$
$-3.51 \pm j 13.06, 0.233$	$-2.33 \pm j 13.45, 0.161$	$-2.57 \pm j 12.72, 0.206$

رابطه نسبت میرایی و تحلیل آن در مرجع [۲۵] ارائه شده است. در این مورد مطالعاتی، خطای سه فاز در خط ۷-۵ و در بس ۷ که همان ابتدای بس ۷ می‌باشد، خواهیم داشت که در ثانیه ۱ انفاق می‌افتد. ملاحظه می‌شود که پاسخ سیستم با تکنیک پیشنهادی بهترین جواب برای سیستم می‌باشد. شکل ۶ نتایج شکل موج‌های سیستم در شرایط مورد اول را نشان می‌دهد نتایج شبیه‌سازی با مرجع [۳-۲] مقایسه شده است.



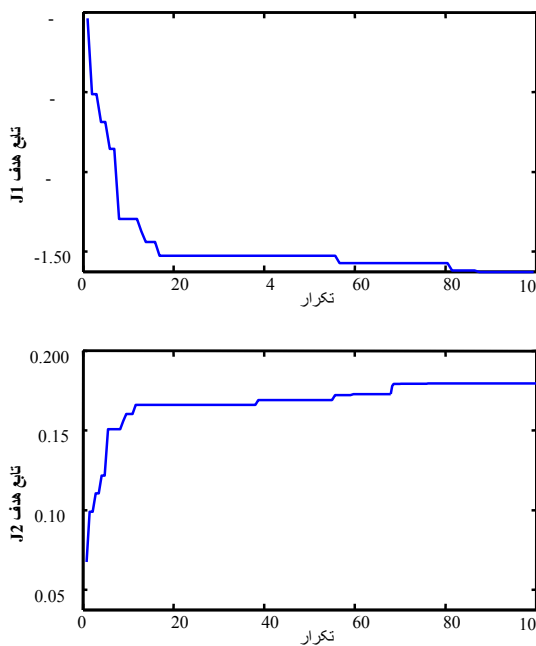
شکل ۵- همگرایی تابع هدف با مقادیر اولیه مختلف



شکل ۶- پاسخ سیستم به اتصال کوتاه سه‌فاز در خط ۷-۵ و بس ۷ در مورد اول

جدول ۱۱- قوانین فازی تنظیم بهره K_{pi}

	NB	NS	PS	PB
NB	NM	NB	ZO	PB
NS	PS	PM	NS	NS
Z	ZO	PB	PB	ZO
PS	PS	PM	NS	PB
PB	ZO	NM	PS	PS



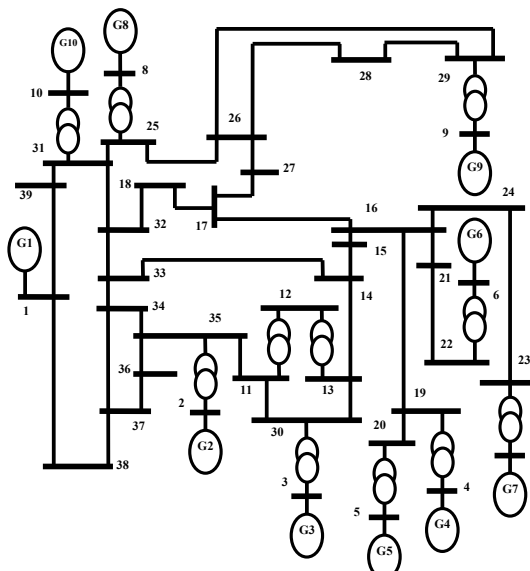
شکل ۸- همگرایی الگوریتم هارمونی

▪ تحلیل مقادیر ویژه

در این مورد مطالعاتی نیز برای نشان دادن قدرت کنترل-کننده پیشنهادی در دو حالت مورد تست و آزمایش قرار گرفته است [۲۴-۲۵]. در حالت اول خروج خط ۲۱-۲۵ در نظر گرفته شده و در حالت دوم خروج خط ۱۴-۱۵ مورد مطالعه قرار گرفته است. در جدول ۱۲ مقادیر ویژه سیستم بدون در نظر گرفتن پایدارساز ارائه شده است. با در نظر گرفتن پایدارساز، مقادیر ویژه در جداول ۱۳ و ۱۴ ارائه شده که در دو مورد J_1 و J_2 ارائه گردیده است. هم‌چنین در هر سطر ابتدا مقادیر ویژه به صورت اعداد مختلط نشان داده شده‌اند و بعد نسبت میرایی نوشته شده است. مقادیر ویژه ارائه شده برای کل سیستم می‌باشند و برای قسمت خاصی از سیستم قدرت نمی‌باشند. موارد مذکور عبارت است از شرایط بهره‌برداری مختلف که در مراجع [۲۴-۲۵] ارائه گردیده است.

▪ سیستم قدرت New-England

در این قسمت کنترل کننده پیشنهادی بر روی سیستم قدرت ۳۹ باسه و ۱۰ ماشینه که در شکل ۷ نشان داده شده است، مورد بررسی قرار می‌گیرد. این سیستم در شرایط بار نامی، سبک و سنگین و در سناریوهای مختلف مورد بهره‌برداری قرار گرفته است. همچنان مشخصات مربوط به سیستم در مرجع [۷] ارائه شده است. نتایج بدست آمده برای قوانین فازی در جدول ۹ تا ۱۱ ارائه شده است. شکل ۷ نیز روند همگرایی الگوریتم پیشنهادی با مقادیر اولیه مختلف ارائه گردیده است.



شکل ۷- سیستم قدرت ۳۹ باسه ۱۰ ماشینه

جدول ۹- قوانین فازی تنظیم بهره K_{di}

	NB	NS	PS	PB
NB	NM	NB	ZO	PB
NS	PS	PM	NS	NS
Z	ZO	PB	PB	ZO
PS	PS	PM	NS	PB
PB	ZO	NM	PS	PS

جدول ۱۰- قوانین فازی تنظیم بهره K_{li}

	NB	NS	PS	PB
NB	NS	PM	PM	ZO
NS	PB	ZO	NB	PB
Z	PM	NM	NS	ZO
PS	NS	PB	NS	NB
PB	PM	NS	NB	NM

جدول ۱۲- مقادیر ویژه و نسبت‌های میرایی بدون در نظر گرفتن پایدارساز

مورد مطالعاتی پایه	مورد اول	مورد دوم
$0.189 \pm j 5.805, -0.030$	$0.193 \pm j 5.711, -0.033$	$0.150 \pm j 5.762, -0.022$
$0.087 \pm j 4.004, -0.020$	$0.120 \pm j 3.793, -0.033$	$0.091 \pm j 3.833, -0.024$
$-0.029 \pm j 9.648, 0.001$	$0.095 \pm j 6.002, -0.015$	$0.030 \pm j 6.853, -0.004$
$-0.035 \pm j 6.412, 0.002$	$-0.035 \pm j 9.690, 0.001$	$-0.020 \pm j 9.660, 0.002$
$-0.057 \pm j 7.134, 0.005$	$-0.105 \pm j 8.011, 0.011$	$-0.090 \pm j 8.122, 0.011$
$-0.095 \pm j 8.114, 0.009$	$-0.110 \pm j 6.512, 0.015$	$-0.099 \pm j 6.033, 0.016$
$-0.174 \pm j 9.689, 0.015$	$-0.170 \pm j 9.712, 0.015$	$-0.170 \pm j 9.694, 0.015$
$-0.222 \pm j 8.011, 0.026$	$-0.205 \pm j 8.056, 0.022$	$-0.220 \pm j 8.002, 0.022$
$-0.272 \pm j 9.337, 0.026$	$-0.252 \pm j 9.267, 0.021$	$-0.260 \pm j 9.323, 0.025$

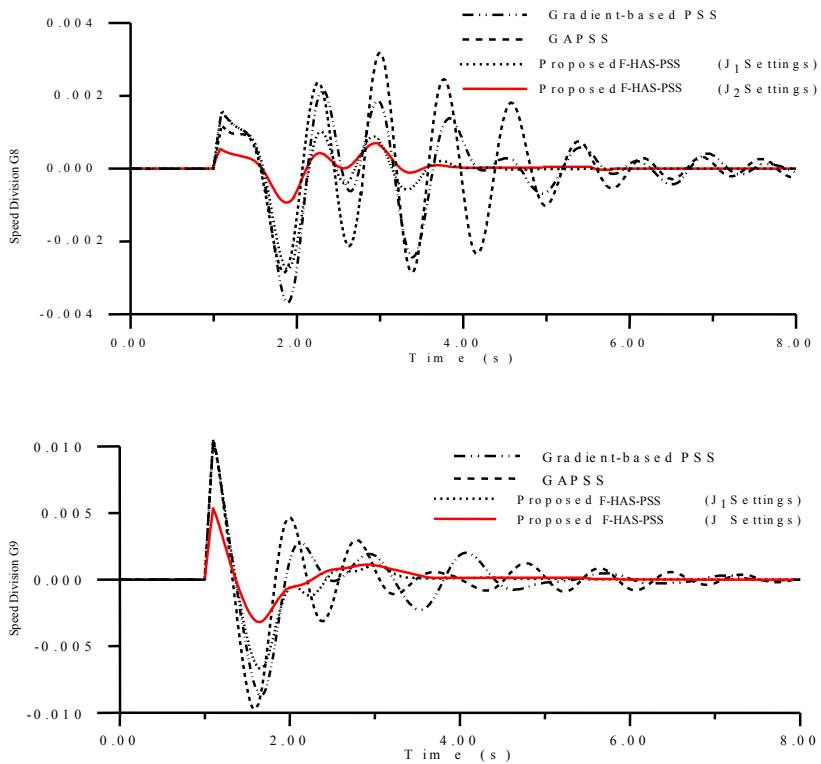
جدول ۱۳- مقادیر ویژه و نسبت‌های میرایی با در نظر گرفتن پایدارساز (J_1)

مورد مطالعاتی پایه	مورد اول	مورد دوم
$-1.733 \pm j 2.851, 0.518$	$-1.430 \pm j 3.132, 0.416$	$-1.543 \pm j 2.641, 0.513$
$-1.753 \pm j 12.481, 0.138$	$-1.542 \pm j 9.941, 0.155$	$-1.624 \pm j 9.657, 0.117$
$-1.765 \pm j 9.772, 0.170$	$-1.776 \pm j 12.445, 0.137$	$-1.754 \pm j 12.235, 0.114$
$-1.754 \pm j 9.992, 0.170$	$-1.754 \pm j 10.565, 0.162$	$-1.763 \pm j 10.565, 0.173$
$-1.763 \pm j 8.240, 0.211$	$-1.787 \pm j 12.185, 0.142$	$-1.763 \pm j 10.466, 0.156$
$-1.755 \pm j 10.948, 0.154$	$-1.893 \pm j 9.955, 0.185$	$-1.794 \pm j 10.563, 0.163$
$-1.882 \pm j 10.173, 0.150$	$-1.951 \pm j 9.053, 0.228$	$-1.832 \pm j 7.347, 0.243$
$-1.850 \pm j 12.238, 0.152$	$-2.140 \pm j 10.655, 0.193$	$-1.835 \pm j 12.665, 0.154$
$-2.273 \pm j 9.840, 0.226$	$-2.268 \pm j 7.453, 0.294$	$-2.368 \pm j 9.841, 0.236$

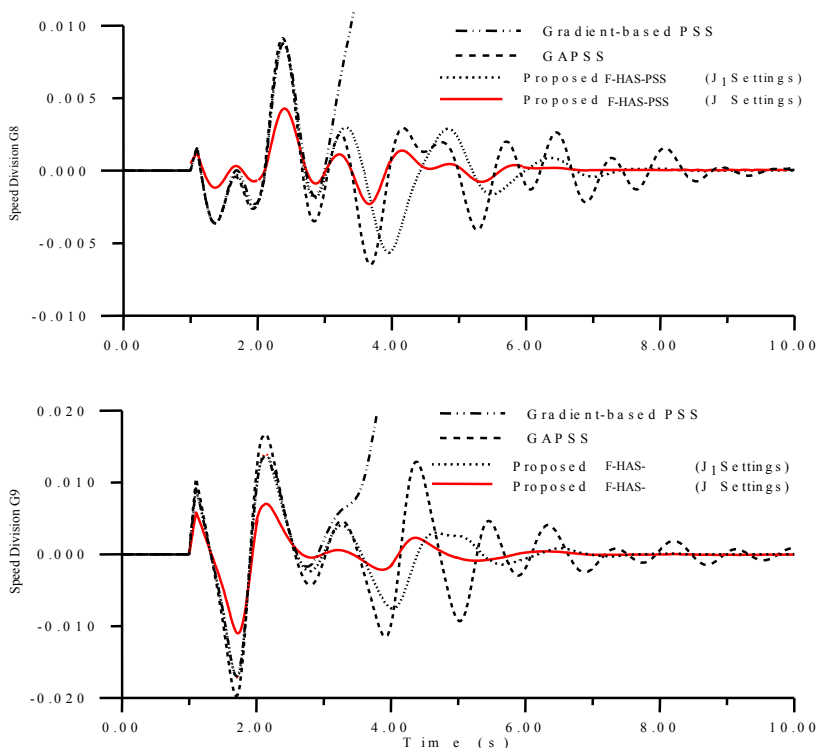
جدول ۱۴- مقادیر ویژه و نسبت‌های میرایی با در نظر گرفتن پایدارساز (J_2)

مورد مطالعاتی پایه	مورد اول	مورد دوم
$-0.783 \pm j 2.825, 0.264$	$-0.695 \pm j 2.953, 0.234$	$-0.734 \pm j 2.735, 0.235$
$-1.402 \pm j 5.155, 0.265$	$-0.935 \pm j 4.445, 0.213$	$-1.415 \pm j 5.073, 0.265$
$-1.538 \pm j 8.122, 0.185$	$-1.455 \pm j 9.035, 0.165$	$-1.542 \pm j 9.425, 0.124$
$-1.762 \pm j 9.127, 0.186$	$-1.674 \pm j 8.002, 0.205$	$-1.552 \pm j 7.413, 0.204$
$-1.732 \pm j 9.755, 0.175$	$-2.094 \pm j 10.243, 0.195$	$-2.147 \pm j 9.645, 0.225$
$-2.132 \pm j 12.335, 0.173$	$-2.275 \pm j 12.113, 0.185$	$-2.144 \pm j 10.277, 0.204$
$-2.172 \pm j 10.325, 0.205$	$-2.236 \pm j 12.655, 0.173$	$-2.165 \pm j 12.174, 0.174$
$-2.255 \pm j 12.462, 0.172$	$-2.244 \pm j 9.335, 0.224$	$-2.155 \pm j 12.494, 0.175$
$-2.532 \pm j 13.735, 0.175$	$-2.624 \pm j 13.275, 0.185$	$-2.645 \pm j 13.774, 0.187$

- خطا دوم خطای سه فاز در ابتدای باس ۱۴ در انتهای خط ۱۵-۱۴
- کدام از خطاهای سه فاز برای موارد مختلف بهره-برداری در [۲۵-۲۴] اعمال شده‌اند. شکل ۹ و ۱۰ پاسخ ژنراتورهای سیستم مورد نظر را در شرایط بهره‌برداری خطای اول و دوم را نشان می‌دهند.
- برای تحلیل پاسخ کنترل‌کننده پیشنهادی در شرایط مختلف، سیستم مورد نظر در برابر دو نوع خطای سه فاز قرار می‌گیرد که عبارتند از:
- خطای اول خطای سه فاز در ابتدای باس ۲۹ در انتهای خط ۲۹-۲۶



شکل ۹: پاسخ سیستم به خطای اتصال کوتاه سه‌فاز در خط ۲۰-۲۶ و باس ۲۹



شکل ۱۰: پاسخ سیستم به خطای اتصال کوتاه سه‌فاز در خط ۱۵-۱۴ و باس ۱۴

جدول ۱۵- پاسخ شاخص عملکرد سیستم در اختشاش‌های مختلف

ردیف	[۲۴] Gradient-based PSS				GAPSS [۲۴]		F-HAS-PSS			
	J ₁	J ₂	J ₁	J ₂	J ₁	A ₁	A ₂	J ₂	A ₁	A ₂
1	2.44	1.05	2.86	1.09	0.41	0.31		0.40	0.40	
2	3.39	1.08	3.33	1.11	0.42	0.95		0.42	0.50	
3	2.30	1.06	2.66	1.08	0.32	0.50		0.48	0.47	
4	---	---	65.5	8.61	51.3	22.4		6.44	4.13	
5	---	---	65.2	8.64	37.7	37.2		5.67	5.71	

۵- نتیجه‌گیری

طراحی و بهینه‌سازی قوانین کنترل کننده فازی با استفاده از الگوریتم جستجوی هارمونی در سیستم قدرت چند ماشینه در این مقاله ارائه شده است. کنترل کننده پیشنهادی یکی از روش‌های مناسب برای پایداری در سیستم‌های غیرخطی می‌باشد که با انتخاب بهینه قوانین فازی با الگوریتم جستجوی هارمونی به یک کنترل کننده مقاوم تبدیل شده است. الگوریتم پیشنهادی هارمونی نیز یک روش مناسب بهینه‌سازی می‌باشد که به دنبال یافتن بهترین جواب شرایط سیستم را در نظر گرفته پایداری را در سیستم برقرار می‌کند. به این منظور کنترل کننده پیشنهادی در نقاط کار مختلف بر روی سیستم قدرت استاندارد سه ماشینه IEEE و ده ماشینه New-England مورد آزمایش قرار گرفت. سیستم‌های قدرت پیشنهادی در شرایط بهره‌برداری مختلف مورد تیست قرار گرفتند. همچنین برای تحلیل بیشتر توابع هدف مختلفی برای این سیستمهای تعریف و محاسبه شدند. با توجه به نتایج بدست آمده و مقایسه آن با روش‌های دیگر می‌توان گفت که کنترل کننده در نقاط کار مختلف دارای عملکرد مناسبی می‌باشد.

در جدول بالا پارامترهای A₁ و A₂ عبارتند از:

$A_1 = \max\{\text{Real}(\lambda_i) : \lambda_i \in \text{electromechanical modes}\}$
 $A_2 = \min\{\zeta_i : \zeta_i \in S \text{ of electromechanical modes}\}$

که λ_i و ζ_i به ترتیب قسمت حقیقی و نسبت میرایی برای ith حالت الکترومکانیکی و مقدار ویژه می‌باشند. با توجه به نتایج عددی بدست آمده در جداول بالا این نکته بدیهی است که مقادیر توابع هدف در روش پیشنهادی کمتر از روش‌های دیگر می‌باشد. مقدار کمتر تابع هدف به معنی نوسان کمتر خروجی سیستم و میرا شدن آن در حداقل زمان می‌باشد. همچنین از مقایسه مقادیر ویژه بدست آمده با منابع مورد مقایسه به این نکته می‌توان دریافت که روش پیشنهادی مقادیر ویژه مناسب با نسبت میرایی کمتر را بدست آورده است. لذا بدیهی است که عملکرد کنترل کننده پیشنهادی در شرایط بهره‌برداری و اختشاشات واردہ مختلف بهتر از دیگر کنترل کننده‌های مورد آزمایش بوده است. به طوریکه کنترل کننده پیشنهادی در این مقاله از عملکرد مناسبی جهت میرا کردن نوسانات و اختلالات واردہ بر سیستم برخوردار می‌باشد.

۶- مراجع

- [1] Basler, M. J., Schaefer, R. C., (2008), "Understanding Power System Stability", IEEE Trans. Industry Applications, 2008, Vol. 44, pp. 463-474.

- [2] Abe, S. and Doi, A., (1983), "A New Power System Stabilizer Synthesis in Multimachine Power Systems," *IEEE Trans. PAS*, Vol. 102, No. 12, pp. 3910-3918.
- [3] Yu, Y. N. and Li, Q., (1990), "Pole-Placement Power System Stabilizers Design of an Unstable Nine-Machine System," *IEEE Trans. PWRS*, Vol. 5, No. 2, pp. 353-358.
- [4] Padiyar, K. R., (2006), "Power System Dynamics, Stability and Control", Second Ed..
- [5] Kundur, P., (1994), "Power System Stability and Control", McGraw-Hill Inc., New York.
- [6] El-Zonkoly, A. M., Khalil, A. A. and Ahmied, N. M., (2008), "Optimal Tuning of Lead-Lag and Fuzzy Logic Power System Stabilizers Using Particle Swarm Optimization", Expert System with Applications, Vol. 10, pp. 1-10.
- [7] Abedinia, O., Amjadi, N., Izadfar, H.R., Shayanfar, H.A., (2012), "Multi-machine Power System Oscillation Damping: Placement and Tuning PSS VIA Multi-objective HBMO", "Technical and Physical Problems of Engineering" (IJTPE), Issue. 12, Vol. 4, No. 3, pp:1-8.
- [8] Abedinia , O., Jalili, A., (2011), "Optimal Rule-Base in Multi-Machine Fuzzy PSS Using Genetic Algorithm", Australian Journal of Basic and Applied Sciences, Vol. 5, No. 10, pp: 1424-1434.
- [9] James, M. A., (2001), "Multi-stage fuzzy PID controller with fuzzy switch". In: Proceeding of the IEEE international conference on control application, vol. 4, p: 323-27.
- [10] Hwang, J. H., Kim, D. W., Lee, J. H. and An, Y. J., (2008), "Design of Fuzzy Power System Using Adaptive Evolutionary Algorithm", Engineering Applications of Artificial Intelligence, vol. 21, pp. 86-96.
- [11] Abdel-Magid, Y. L., Abido, M. A., (2003), "Optimal Multi-objective Design of Robust Power System Stabilizers Using Genetic Algorithms", IEEE Transaction on Power Systems, Vol. 18, No. 1 . PP. 256-267.
- [12] Glover, F., (1990), "Artificial Intelligence Heuristic Frameworks and Tabu Search", Managerial and Decision Economics, Vol. 11, No 2. PP. 365-375.
- [13] Chhavali, S., Pahwa, A. and Das, S.. (2002), "A Genetic Algorithm Approach for Optimal Distribution Feeder Restoration During Cold Load Pickup" , In proc. Of the 2002 congress on evolutionary computation, Vol. 5, No. 4, PP. 1816-1819.
- [14] Segal, R., Sharma, A., Kothari, M. L., (2004), "A Self-tuning Power System Stabilizer Based on Artificial Neural Network", Vol. 26, pp. 423-430.
- [15] Vasebi, A., Fesanghary, M., Bathaei, SMT., (2007), "Combined heat and power economic dispatch by harmony search algorithm", Electrical Power Energy Syst Vol. 29, no. 10, pp. 713-719.
- [16] Hyun Hwang, G., Xan Kim, D., Hyne. Lee, J. and Joo, Y. An, (2008), "Design of Fuzzy Power System Stabilizer Using Adaptive Evolutionary Algorithm", Engineering Applications of Artificial Intelligence, Vol. 21, No. 6, PP. 86-96.
- [17] Kazimi, A., Sohrforouzani, M. V., (2006), "Power System Damping Using Fuzzy Controlled Facts Devices", Electrical Power and Energy Systems, Vol. 28, No. 2, PP. 349-357.
- [18] Tang, K. S., Man, K. F., Chen, G., Kwong, S., (2001), "A GA-optimized Fuzzy PID Controller For Nonlinear Systems", The 27th Annual Conference of IEEE Industrial Electronics Society, Vol. 20. No. 5, PP. 718-723.
- [19] Cheong, F., Lai, R., (2000), "Constraining the Optimization of a Fuzzy Logic Controller Using an Enhanced Genetic Algorithm", IEEE Transactions on Systems, MAN, and Cybernetics, Vol. 30, No. 1.
- [20] Juang, C. F., Lu, C. F., (2002), "Power System Load Frequency Control with Fuzzy Gain Scheduling Designed by New Genetic Algorithms", IEEE International Conference on Plasma Science, Vol. 1, No. 7 , PP.64-68.

- [21] Geem, ZW., Tseng, C., Park, Y., (2005), “Harmony search for generalized orienteering problem”, best touring in China. Springer Lect Notes Comput Sci, pp. 741–7150.
- [22] Abedinia, O., Barazande, Ebrahim S., Amjadi, N., (2012), “Solving Optimal Unit Commitment Problem Based on Wind Power Effects Using Harmony Search Algorithm”, International Journal of Basic and Applied Science (IJBAS), Vol. 2, No. 11, pp: 11764-11773.
- [23] Geem, ZW., Kim, JH., Loganathan, GV., (2002), “Harmony search optimization: application to pipe network design, Int J Model Simulat., vol. 22, no. 2, pp. 125–133.
- [24] Maslennikov, V. A. and Ustinov, S. M., (1996), “The Optimization Method for Coordinated Tuning of Power System Regulators,” Proc. 12th Power System Computation Conference PSCC, Dresden,, pp. 70-75.
- [25] Abdel-Magid, Y. L., Abido, M. A., Al-Baiyat, S., and Mantawy, A. H., (1999), “Simultaneous Stabilization of Multimachine Power Systems via Genetic Algorithms,” IEEE Trans. PWRS, Vol. 14, No. 4, pp. 1428-1439.